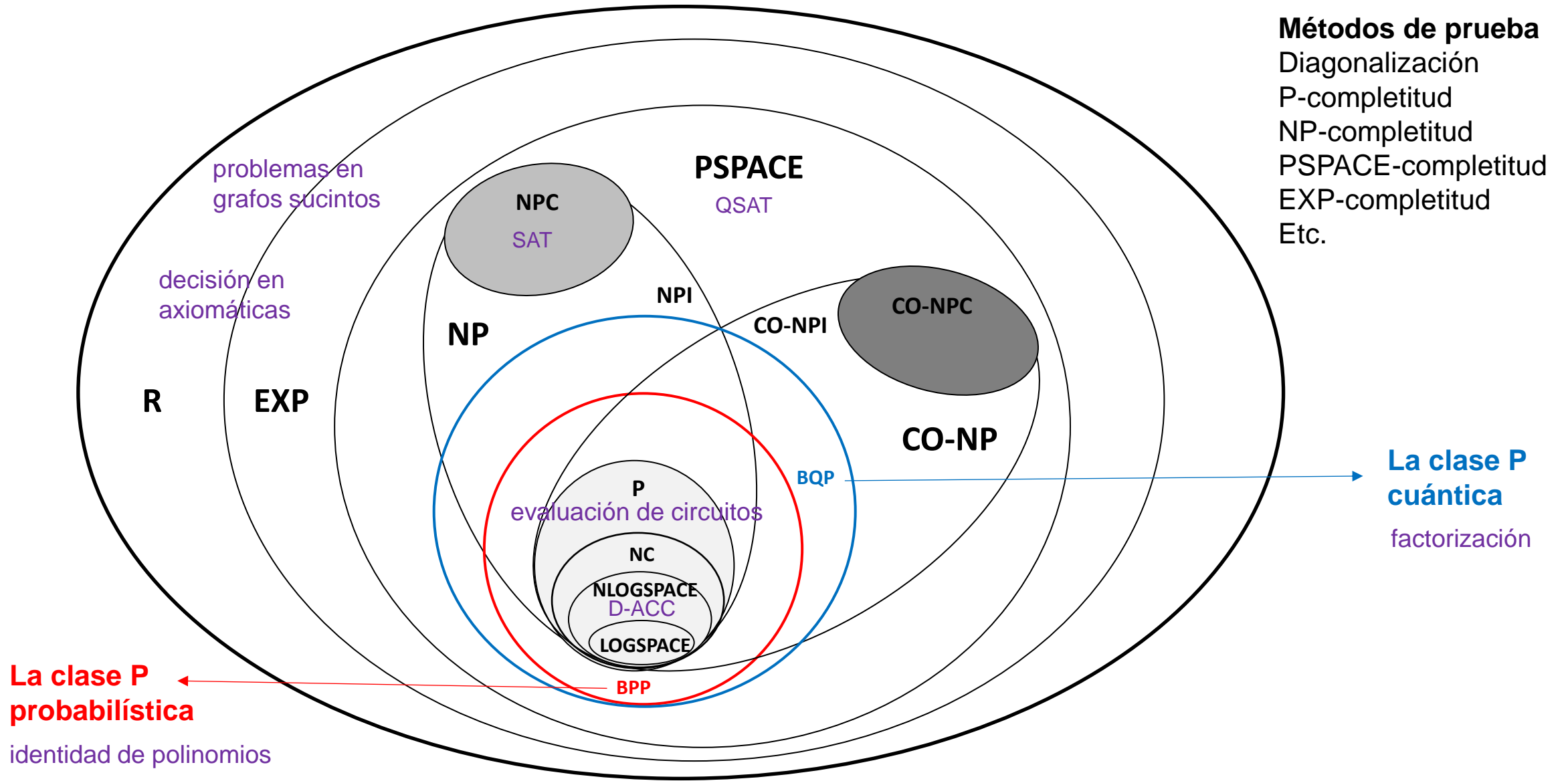


Clase teórica 9

**Temas avanzados de
complejidad computacional
(continuación)**

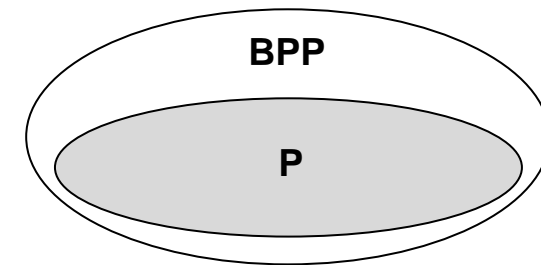
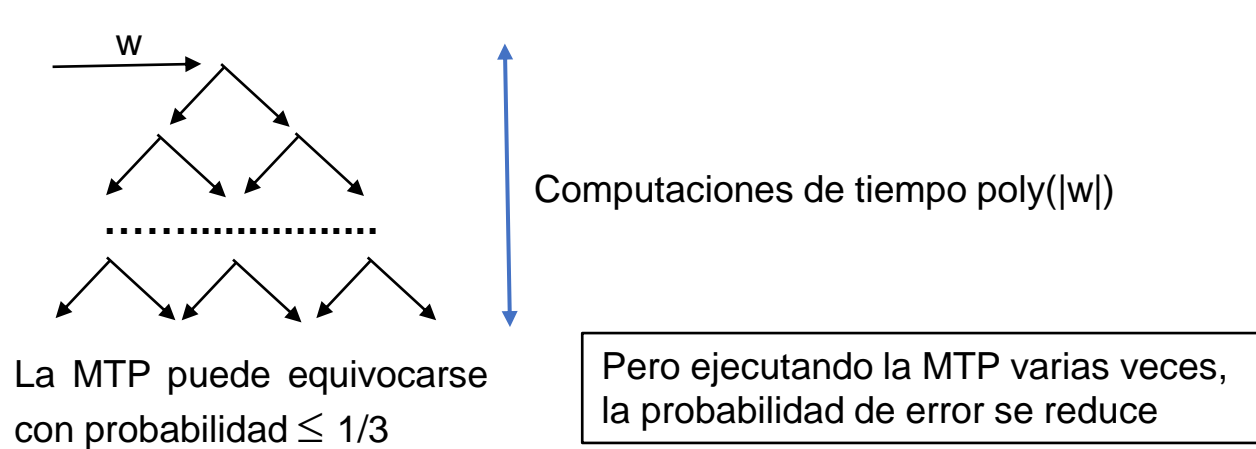
Las jerarquías clásica y cuántica



Profundizando en las MT probabilísticas

- Repaso:

- Una **MT probabilística (MTP)**, en cada paso elige **aleatoriamente** una entre dos continuaciones, cada una con **probabilidad 1/2** (“tiro de moneda”).
- La clase P probabilística es **BPP** (*bounded probabilistic polynomial*):
 $L \in \text{BPP}$ sii existe una MTP M con computaciones de tiempo $\text{poly}(n)$ tal que, para toda cadena w :
 - a) Si $w \in L$, entonces M acepta w en **al menos 2/3 de sus computaciones**.
 - b) Si $w \notin L$, entonces M rechaza w en **al menos 2/3 de sus computaciones**.(M tiene una **probabilidad de error $\leq 1/3$**).

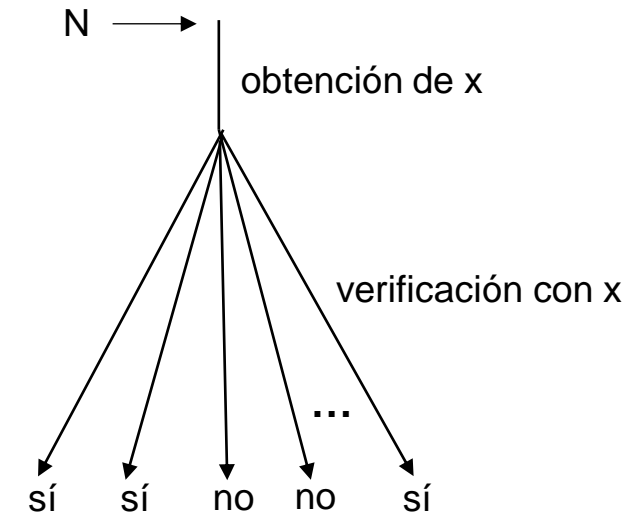


La conjetura más aceptada es que se cumple $P = \text{BPP}$!
(uso de generadores pseudoaleatorios)

Ejemplo. Problema de composicionalidad COMP: “¿N es un número compuesto (no primo)?”

Se cumple que $\text{COMP} = \{N \mid N \text{ es un número compuesto}\} \in \text{BPP}$.

- Existe una MTP M basada en lo siguiente: todo número compuesto impar N tiene **al menos $(N - 1)/2$ certificados de composicionalidad x en el intervalo $[1, N - 1]$** , en el sentido de que todo x permite verificar en tiempo $\text{poly}(|N|)$ si N es compuesto.
- El esquema general de la MTP M es el siguiente. Dado un número N, M hace:
 1. Si N es par, acepta.
 2. Obtiene aleatoriamente un número x entre 1 y N – 1.
 3. Verifica si N es compuesto con la ayuda de x.
- Se cumple:
 - Si m es compuesto, **al menos la mitad de las computaciones de M aceptan**
 - Si m es primo, **todas las computaciones de M rechazan** (¿por qué?)
- De esta manera:
 - Si m es compuesto, **la probabilidad de error de M es $\leq 1/2$** .
 - Si m es primo, **la probabilidad de error de M es 0**.
- **COMP \in BPP**: ya ejecutando M dos veces la probabilidad de error de M es $\leq 1/3$ (¿por qué?)

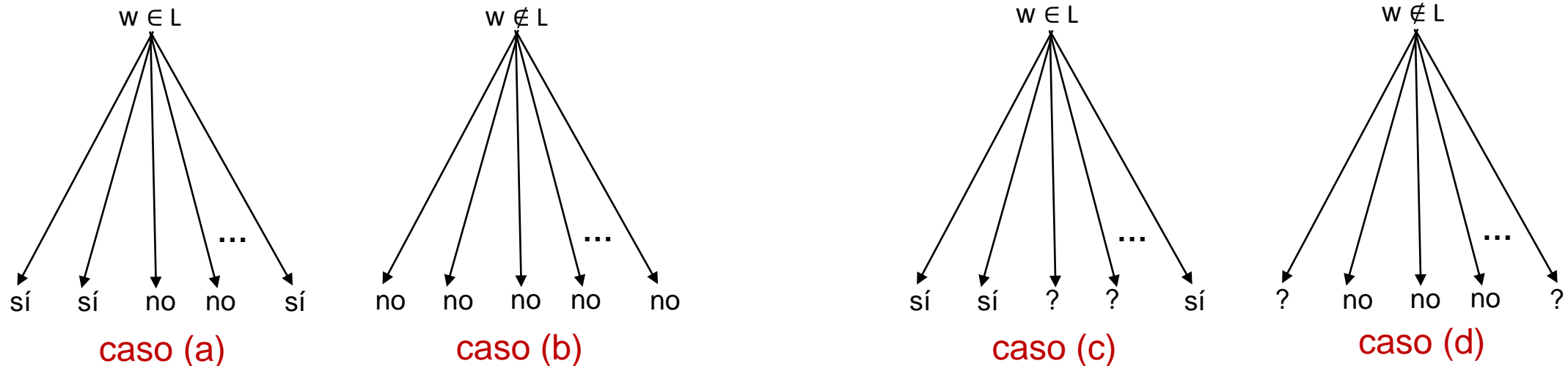


¿Y cuál es la probabilidad de error de M si se ejecuta p.ej. 10 veces? Si m es compuesto, es $\leq 1/2^{10}$

- Otra clase probabilística, incluida en BPP, es **RP** (*randomized polynomial*):
 - $L \in \text{RP}$ sii existe una MTP M con computaciones de tiempo $\text{poly}(n)$ tal que, para toda cadena w :
 - Si $w \in L$, entonces M acepta w en **al menos 1/2 de sus computaciones**. *** ver abajo (a)
 - Si $w \notin L$, entonces M rechaza w **en todas sus computaciones**. *** ver abajo (b)
 - (M nunca acepta mal, y rechaza mal con probabilidad $\leq 1/2$).

Por ejemplo, **COMP** $\in \text{RP}$. También **PRIMOS** = $\{N \mid N \text{ es un número primo}\} \in \text{RP}$.

- Y una tercera clase probabilística incluida en BPP es **ZPP** (*zero-error probabilistic polynomial*):
 - $L \in \text{ZPP}$ sii existe una MTP M con computaciones de tiempo $\text{poly}(n)$ tal que, para toda cadena w :
 - Si $w \in L$, entonces M **acepta w con probabilidad $\geq 1/2$ y rechaza con probabilidad 0**. *** ver abajo (c)
 - Si $w \notin L$, entonces M **rechaza con probabilidad $\geq 1/2$ y acepta con probabilidad 0**. *** ver abajo (d)
 - M nunca se equivoca pero puede no responder nada (tiene un tercer tipo de estado, “no sé” o “?”).



Ejemplo. **PRIMOS** \in **ZPP** (también **COMP** \in **ZPP**).

Sabemos que **PRIMOS** y **COMP** pertenecen a **RP**.

Así, existen una **MTP** M_1 que decide **PRIMOS** y una **MTP** M_2 que decide **COMP** tal que: tardan tiempo $\text{poly}(n)$, nunca aceptan mal, y pueden rechazar mal con probabilidad $\leq 1/2$.

Vamos a construir una **MTP** M que decida **PRIMOS** y responda a la definición de **ZPP**:

Sea la siguiente **MTP** M . Dado un número N , M hace:

1. Ejecuta M_1 . Si acepta, **acepta** (N es primo porque M_1 decide **PRIMOS** y nunca acepta mal).
2. Ejecuta M_2 . Si acepta, **rechaza** (N es compuesto porque M_2 decide **COMP** y nunca acepta mal).
3. Responde *no sé*.

- M tarda tiempo $\text{poly}(n)$ porque M_1 y M_2 tardan tiempo $\text{poly}(n)$

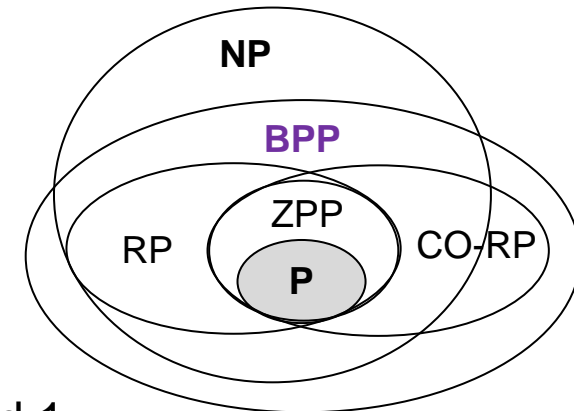
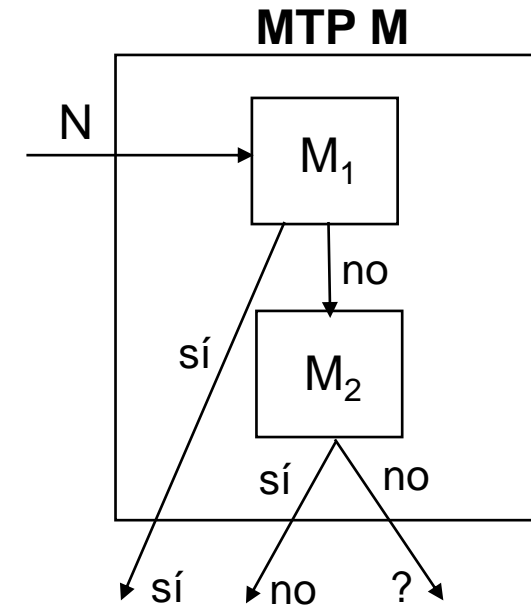
- M nunca se equivoca (M_1 y M_2 nunca aceptan mal)

- La probabilidad de que M responda **no sé** (?) $\leq 1/2$ (¿por qué?)

Si N es primo, M_1 responde **no** con probabilidad $\leq 1/2$ y M_2 responde **no** con probabilidad 1

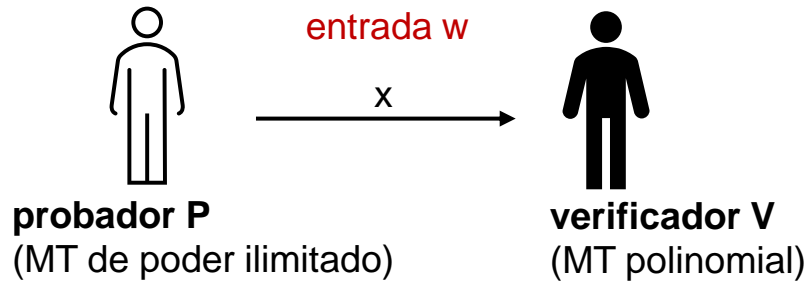
Si N no es primo, M_1 responde **no** con probabilidad 1 y M_2 responde **no** con probabilidad $\leq 1/2$

- Ejecutando M por ejemplo 10 veces, la probabilidad de que M responda **no sé** baja a $\leq 1/2^{10}$



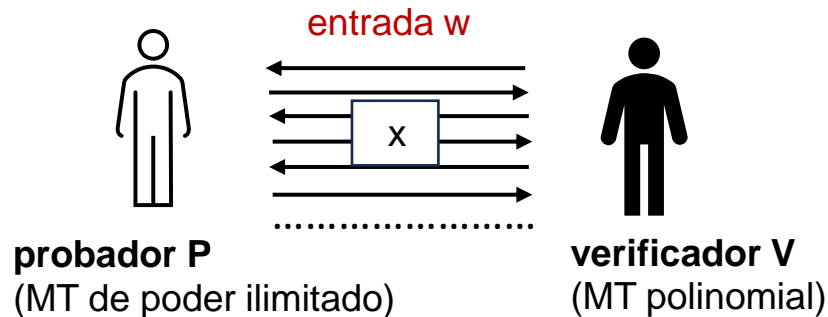
Profundizando en los sistemas interactivos

- Vimos que un lenguaje L está en NP si cuenta con un verificador eficiente V (MT de tiempo polinomial):



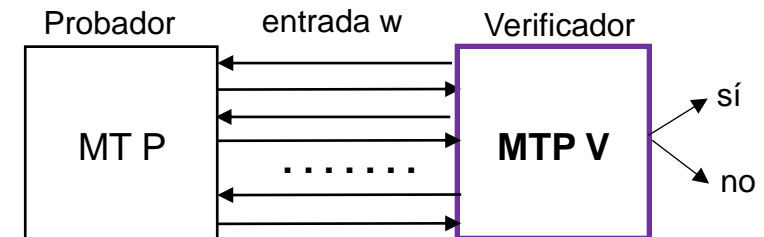
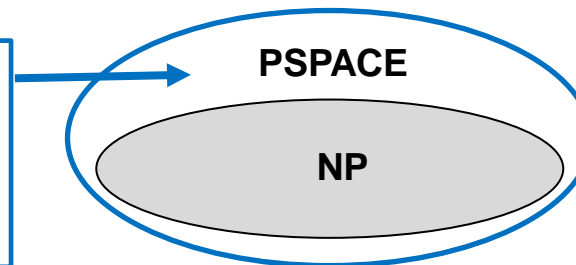
- Si $w \in L$, entonces existe un probador P (MT de poder ilimitado) que puede convencer a V de que $w \in L$, con la ayuda de un certificado x .
- Si $w \notin L$, entonces no existe ningún probador P que pueda convencer a V de lo contrario, cualquiera sea el certificado x que utilice.

- También vimos que un lenguaje L está en NP si puede ser verificado con un mecanismo más general, interactivo:



- El verificador V y el probador P se intercambian $\text{poly}(|w|)$ mensajes de tamaño $\text{poly}(|w|)$ (V le envía preguntas a P y P le envía respuestas a V).
- En este caso, el certificado x incluye todos los intercambios entre P y V .

Si V es una **MT probabilística**, la clase de lenguajes decididos por un sistema interactivo es mucho más grande que NP, ¡**alcanza a PSPACE**! Como en la clase BPP, se requiere que la probabilidad de error sea $\leq 1/3$.



Ejemplo. Sistema interactivo probabilístico para decidir el complemento del problema del isomorfismo de grafos.

- Vimos que $ISO = \{(G_1, G_2) \mid G_1 \text{ y } G_2 \text{ son grafos isomorfos}\} \in NP$.
Los certificados sucintos son permutaciones de vértices (orden n).
- Y comentamos que $ISO^c = \{(G_1, G_2) \mid G_1 \text{ y } G_2 \text{ no son grafos isomorfos}\}$ no estaría en NP.
Los certificados naturales no son sucintos: secuencias de todas las permutaciones posibles de vértices (orden $n!$).
- Así, un sistema interactivo (P, V) no probabilístico no decidiría ISO^c . **Pero sí lo hace si es probabilístico:**

Sea el siguiente sistema (P, V) . Dados dos grafos G_1 y G_2 con m vértices, (P, V) hace:

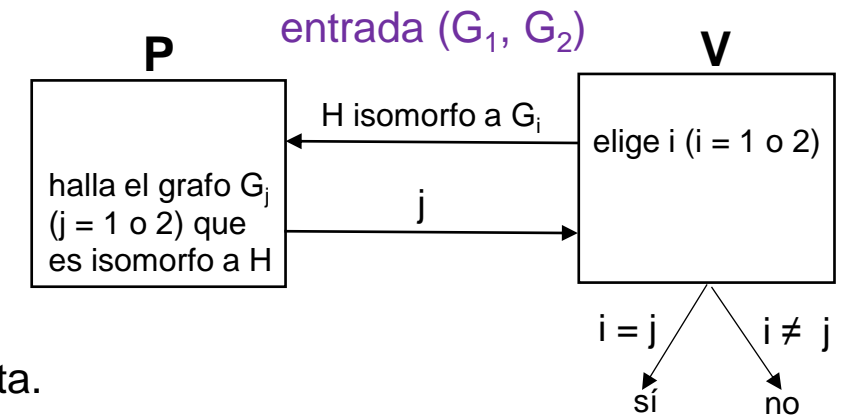
1. V elige un número i entre 1 y 2 y una permutación π de $(1, \dots, m)$.
2. V obtiene el grafo $H = \pi(G_i)$ (por lo tanto, H es isomorfo a G_i).
3. V le envía a P el grafo H .
4. P obtiene el número j entre 1 y 2 según H sea isomorfo a G_1 o a G_2 .
5. P le envía a V el número j .
6. V acepta sii $i = j$.

(P, V) tarda tiempo $\text{poly}(|(G_1, G_2)|)$

- Las etapas 1, 2, 3 y 6 tardan tiempo $\text{poly}(|(G_1, G_2)|)$. El tiempo de P no importa.
- Los mensajes intercambiados son 2.
- Los mensajes miden $\text{poly}(|(G_1, G_2)|)$.

(P, V) decide ISO^c con probabilidad de error $\leq 1/3$

- Si G_1 y G_2 **no son isomorfos**, V acepta con **probabilidad 1** (¿por qué?)
- Si G_1 y G_2 **son isomorfos**, V acepta con **probabilidad $\leq 1/2$** (¿por qué?)
- Por lo tanto, con 2 ejecuciones de (P, V) , la probabilidad de error $\leq 1/4$
- **Esto vale con el probador P definido o cualquier otro**



Por lo tanto, en el marco de los sistemas interactivos probabilísticos, **las cadenas del lenguaje ISO^c cuentan con certificados sucintos.**

Profundizando en los algoritmos cuánticos

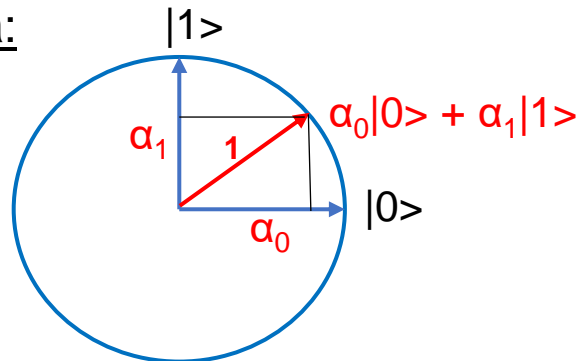
- **Repaso:** Un cúbit, como un bit, puede estar en los **estados básicos 0 o 1**, pero a diferencia del bit, puede estar también en un **estado de superposición de 0 y 1**. Los estados de un cúbit se expresan así:

| <u>Notación de Dirac</u> | | |
|--------------------------|-------------|---|
| $ 0\rangle$ | $ 1\rangle$ | $\alpha_0 0\rangle + \alpha_1 1\rangle$ |

| <u>Vectores de amplitudes</u> | | |
|-------------------------------|----------|------------------------|
| $(1, 0)$ | $(0, 1)$ | (α_0, α_1) |

Los coeficientes α_0 y α_1 son números **complejos**, conocidos como **amplitudes**, y cumplen $|\alpha_0|^2 + |\alpha_1|^2 = 1$, lo que se interpreta del siguiente modo:

- El cúbit está en un estado de superposición de 0 y 1.
 - Al **medirlo** (leerlo), se obtiene el valor 0 con **probabilidad** $|\alpha_0|^2$ o el valor 1 con **probabilidad** $|\alpha_1|^2$.
 - Luego de la medición **se destruye la superposición** (el cúbit queda en el estado básico obtenido).
- Con amplitudes **reales** ya se manifiesta el poder cuántico (en lo que sigue utilizamos sólo números reales).
- Representación gráfica:



Con amplitudes reales, la representación gráfica habitual del estado de un cúbit es un **vector de tamaño 1** que rota alrededor de una circunferencia.

Como se refleja en el gráfico, los estados que puede adoptar un cúbit son **infinitos** (cualquier punto de la circunferencia).

- Los cubits se agrupan en **registros cuánticos**.
- El estado de un registro cuántico de m cubits puede alcanzar una superposición de 2^m **estados básicos**.
- Por ejemplo, un registro de 2 cubits puede estar en un estado básico $|00\rangle$, $|01\rangle$, $|10\rangle$ o $|11\rangle$, o en un estado de superposición $\alpha_{00}|00\rangle + \alpha_{01}|01\rangle + \alpha_{10}|10\rangle + \alpha_{11}|11\rangle$, con $\alpha_{00}^2 + \alpha_{01}^2 + \alpha_{10}^2 + \alpha_{11}^2 = 1$.
- En este último caso, el estado del registro se representa mediante el vector de amplitudes $(\alpha_{00}, \alpha_{01}, \alpha_{10}, \alpha_{11})$, y cuando el registro se mide pasa con probabilidad α_{xy}^2 al estado básico $|xy\rangle$, siendo x e $y = 0$ o 1 , quedando la amplitud correspondiente en 1 y las restantes en 0.
- Lo mismo sucede con los registros de 3 cubits, 4 cubits, etc.
- Por ejemplo, si un registro cuántico de 10 cubits en un momento dado está en el estado de superposición:

| | | |
|----------------------|---|-----------------------------|
| $ 0000000000\rangle$ | → | con probabilidad α^2 |
| $ 0000011010\rangle$ | → | con probabilidad β^2 |
| $ 0111000001\rangle$ | → | con probabilidad γ^2 |
| $ 0111110011\rangle$ | → | con probabilidad δ^2 |

si al leerlo se obtiene $|0111000001\rangle$, entonces queda **solamente** en este estado, y por lo tanto su amplitud γ queda en 1 y las $2^{10} - 1$ amplitudes restantes quedan en 0.

- El uso de **amplitudes negativas** marcarían la diferencia fundamental entre lo clásico y lo cuántico:
 - Un cúbit en el estado $(1/\sqrt{2})|0\rangle + (1/\sqrt{2})|1\rangle$, al medirse pasa a $|0\rangle$ con prob. 1/2, o bien a $|1\rangle$ con prob. 1/2.
 - Un cúbit en el estado $(1/\sqrt{2})|0\rangle - (1/\sqrt{2})|1\rangle$, al medirse se comporta de la misma manera (**¿por qué?**)

Pero los estados son distintos (difieren en la **fase**): aplicando operaciones cuánticas **los resultados difieren**.
- Las operaciones cuánticas se conocen como **puertas cuánticas**, que se aplican a **uno, dos o tres cubits**.
- Las puertas cuánticas se representan con **matrices**: aplicar una puerta cuántica sobre un registro consiste en multiplicar la matriz que la representa por el vector que representa el estado del registro.
- Por ejemplo, la **puerta de Hadamard (H)** se aplica sobre un cúbit y se representa por la siguiente matriz:

$$\begin{pmatrix} 1/\sqrt{2} & 1/\sqrt{2} \\ 1/\sqrt{2} & -1/\sqrt{2} \end{pmatrix}$$

Aplicando H a $|0\rangle$ se pasa a $(1/\sqrt{2})|0\rangle + (1/\sqrt{2})|1\rangle$:

$$\begin{pmatrix} 1/\sqrt{2} & 1/\sqrt{2} \\ 1/\sqrt{2} & -1/\sqrt{2} \end{pmatrix} \cdot \begin{pmatrix} 1 \\ 0 \end{pmatrix} = \begin{pmatrix} 1/\sqrt{2} \\ 1/\sqrt{2} \end{pmatrix}$$

amplitudes de $|0\rangle$ y $|1\rangle$

Aplicando H a $|1\rangle$ se pasa a $(1/\sqrt{2})|0\rangle - (1/\sqrt{2})|1\rangle$:

$$\begin{pmatrix} 1/\sqrt{2} & 1/\sqrt{2} \\ 1/\sqrt{2} & -1/\sqrt{2} \end{pmatrix} \cdot \begin{pmatrix} 0 \\ 1 \end{pmatrix} = \begin{pmatrix} 1/\sqrt{2} \\ -1/\sqrt{2} \end{pmatrix}$$

amplitudes de $|0\rangle$ y $|1\rangle$

¿A qué operación de las MT probabilísticas recuerda H? A la elección aleatoria (“tiro de moneda”).

- Siguiendo con la puerta de Hadamard o H, vimos recién que aplicada a $|0\rangle$ se obtiene $(1/\sqrt{2})|0\rangle + (1/\sqrt{2})|1\rangle$:

$$\begin{pmatrix} 1/\sqrt{2} & 1/\sqrt{2} \\ 1/\sqrt{2} & -1/\sqrt{2} \end{pmatrix} \cdot \begin{pmatrix} 1 \\ 0 \end{pmatrix} = \begin{pmatrix} 1/\sqrt{2} \\ 1/\sqrt{2} \end{pmatrix}$$

amplitudes de $|0\rangle$ y $|1\rangle$

Si aplicamos nuevamente H, ahora al estado obtenido, se obtiene:

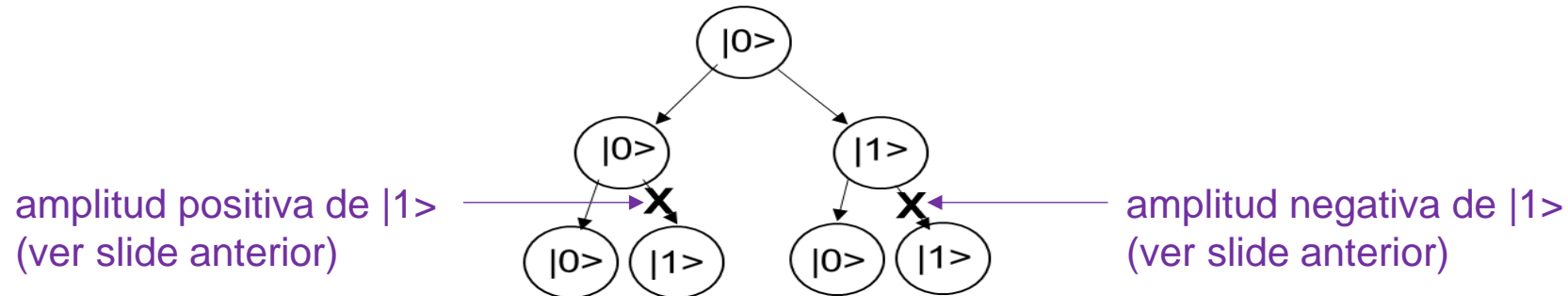
$$\begin{pmatrix} 1/\sqrt{2} & 1/\sqrt{2} \\ 1/\sqrt{2} & -1/\sqrt{2} \end{pmatrix} \cdot \begin{pmatrix} 1/\sqrt{2} \\ 1/\sqrt{2} \end{pmatrix} = \begin{pmatrix} 1 \\ 0 \end{pmatrix}$$

amplitudes de $|0\rangle$ y $|1\rangle$

Ejercicio: comprobar que haciendo lo mismo pero a partir de $|1\rangle$ se vuelve a $|1\rangle$

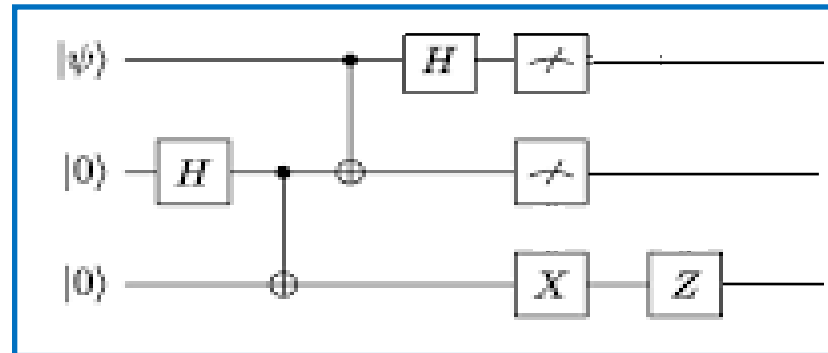
es decir que **se vuelve al estado básico original $|0\rangle$** .

- O sea que aplicando a un estado de superposición una puerta cuántica que pasa un estado a un estado de supersposición, **se obtiene un estado básico!** La explicación es la siguiente:



Desde $(1/\sqrt{2})|0\rangle + (1/\sqrt{2})|1\rangle$ hay dos caminos que llevan a $|0\rangle$ y dos caminos que llevan a $|1\rangle$. Pero mientras que en los primeros las amplitudes son positivas (**interferencia positiva**), en los segundos una amplitud es positiva y la otra es negativa (**interferencia negativa**). Así, en la medición se obtiene $|0\rangle$ con probabilidad 1.

- Una **computación cuántica** es una secuencia de aplicaciones de puertas cuánticas. El esquema estándar es:
 - Inicio.** Preparación de la cadena de entrada w (estado cuántico inicial del sistema).
 - Evoluciones.** Secuencia de aplicaciones de puertas cuánticas.
 - Medición.** Lectura del estado cuántico obtenido.
- El modelo computacional es el **circuito cuántico**. Por ejemplo el siguiente, con un registro de 3 cubits:
 - La entrada w es un cúbit en estado $|\psi\rangle$, seguido de dos cubits en estado $|0\rangle$.
 - En el circuito, primero se aplica H al segundo cúbit, luego CNOT (NOT controlado) al segundo y tercer cúbit, luego CNOT al primer y segundo cúbit, luego H al primer cúbit, luego se miden el primer y segundo cúbit y se aplica X al tercer cúbit, y finalmente se aplica Z al tercer cúbit.



- En la computación cuántica, todas las puertas son **reversibles**: aplicándolas dos veces seguidas, la segunda aplicación cancela el efecto de la primera.
- El **tiempo de ejecución** de un circuito cuántico se establece por el número de sus puertas cuánticas.

- Los lenguajes decidibles por circuitos cuánticos en tiempo $\text{poly}(n)$, y con probabilidad de error $\leq 1/3$, forman la clase **BQP** (*Bounded error, Quantum, Polynomial time*).
- Como en el caso de las MTP, iterando varias ejecuciones un circuito cuántico la probabilidad de error se puede decrementar significativamente.
- Se cumple $\mathbf{P} \subseteq \mathbf{BQP}$, porque las MT de tiempo $\text{poly}(n)$ se pueden simular con circuitos booleanos de tamaño $\text{poly}(n)$, que a su vez se pueden simular con circuitos cuánticos de tamaño $\text{poly}(n)$.
- También se cumple $\mathbf{BPP} \subseteq \mathbf{BQP}$, porque los “tiros de moneda” de las MTP se pueden simular en los circuitos cuánticos con aplicaciones de la puerta de Hadamard.
- **No se cumpliría $\mathbf{BPP} = \mathbf{BQP}$** : hasta el momento no se ha encontrado ninguna MTP que factorice en tiempo $\text{poly}(n)$ (el **algoritmo cuántico de Shor** factoriza en tiempo $\text{poly}(n)$).
- Otra inclusión que se prueba es $\mathbf{BQP} \subseteq \mathbf{PSPACE}$ (recurriendo a un procedimiento recursivo y la reutilización de espacio).
- Y con respecto a **BQP vs NP**, la conjetura aceptada es que **son incomparables**.
 - En particular, BQP no incluiría a los lenguajes NP-completos. Por ejemplo, el **algoritmo cuántico de Grover** acelera los algoritmos de búsqueda clásicos de fuerza bruta sólo un tiempo cuadrático.
 - Por otro lado, habrían lenguajes de BQP no pertenecientes a la jerarquía polinomial PH (la cual incluye a NP).

Idea general del algoritmo cuántico de búsqueda (algoritmo de Grover)

- **Planteo:** dada una función $f : \{0, 1\}^n \rightarrow \{0, 1\}$, se quiere encontrar algún $x \in \{0, 1\}^n$ tal que $f(x) = 1$.
- **Ejemplo con SAT:** dadas las $N = 2^n$ asignaciones \mathcal{A} posibles a una fórmula booleana φ de n variables, se quiere encontrar alguna \mathcal{A} que satisfaga φ . En este caso, x es una asignación \mathcal{A} , y $f(x) = 1$ si \mathcal{A} satisface φ .
- **Complejidad temporal clásica vs cuántica:** si hay N posibles soluciones, en el modelo clásico el tiempo requerido es $O(N)$, mientras que en el modelo cuántico el tiempo baja a $O(\sqrt{N})$ - aceleración cuadrática -.

Esquema general del algoritmo cuántico

1. Se parte de n cubits, cada uno en el estado básico $|0\rangle$.
2. Se aplica H a los n cubits, obteniéndose:

$$(1/\sqrt{2^n})|0\dots 00\rangle + (1/\sqrt{2^n})|0\dots 01\rangle + \dots + (1/\sqrt{2^n})|1\dots 10\rangle + (1/\sqrt{2^n})|1\dots 11\rangle$$

es decir, **se superponen las $N = 2^n$ posibles soluciones $|x\rangle$, cada una con la misma amplitud α_x**

3. Se itera K veces, con $K = O(\sqrt{N})$:
Se aplican puertas cuánticas específicas que:
amplifican las amplitudes de los $|x\rangle$ tales que $f(x) = 1$,
decrementan las amplitudes de los $|x\rangle$ tales que $f(x) = 0$.
4. Finalmente se mide el registro. Se comprueba que se obtiene una solución x con **muy alta probabilidad**.

Representación gráfica del algoritmo cuántico de Grover

Supongamos que sólo $x_0 = 00\dots 00$ es solución, es decir, sólo $f(x_0) = 1$.

| | | | |
|-------------|--|---|--|
| Iteración 0 | $ x_0\rangle = 00\dots 00\rangle$ | → | amplitud $\alpha_0 = 1/\sqrt{2^n}$ |
| | $ x_1\rangle = 00\dots 01\rangle$ | → | amplitud $\alpha_1 = 1/\sqrt{2^n}$ |
| | $ x_2\rangle = 00\dots 10\rangle$ | → | amplitud $\alpha_2 = 1/\sqrt{2^n}$ |
| | | | |
| | $ x_{N-2}\rangle = 11\dots 10\rangle$ | → | amplitud $\alpha_{N-2} = 1/\sqrt{2^n}$ |
| | $ x_{N-1}\rangle = 11\dots 11\rangle$ | → | amplitud $\alpha_{N-1} = 1/\sqrt{2^n}$ |

Se superponen todas las posibles soluciones, todas con la misma probabilidad de medición.

| | | | |
|-------------|--|---|--|
| Iteración 1 | $ x_0\rangle = 00\dots 00\rangle$ | → | amplitud $\alpha_0 > \text{anterior}$ |
| | $ x_1\rangle = 00\dots 01\rangle$ | → | amplitud $\alpha_1 < \text{anterior}$ |
| | $ x_2\rangle = 00\dots 10\rangle$ | → | amplitud $\alpha_2 < \text{anterior}$ |
| | | | |
| | $ x_{N-2}\rangle = 11\dots 10\rangle$ | → | amplitud $\alpha_{N-2} < \text{anterior}$ |
| | $ x_{N-1}\rangle = 11\dots 11\rangle$ | → | amplitud $\alpha_{N-1} < \text{anterior}$ |

Se evalúan **simultáneamente** todos los estados, amplificándose la amplitud de $|x_0\rangle$ y decrementándose las amplitudes de los estados restantes.

| | | | |
|-------------|--|---|--|
| Iteración 2 | $ x_0\rangle = 00\dots 00\rangle$ | → | amplitud $\alpha_0 > \text{anterior}$ |
| | $ x_1\rangle = 00\dots 01\rangle$ | → | amplitud $\alpha_1 < \text{anterior}$ |
| | $ x_2\rangle = 00\dots 10\rangle$ | → | amplitud $\alpha_2 < \text{anterior}$ |
| | | | |
| | $ x_{N-2}\rangle = 11\dots 10\rangle$ | → | amplitud $\alpha_{N-2} < \text{anterior}$ |
| | $ x_{N-1}\rangle = 11\dots 11\rangle$ | → | amplitud $\alpha_{N-1} < \text{anterior}$ |

Se evalúan **simultáneamente** todos los estados, amplificándose la amplitud de $|x_0\rangle$ y decrementándose las amplitudes de los estados restantes.

Y así siguiendo hasta la iteración K, luego de la cual se mide el registro y **se obtiene x_0 con alta probabilidad**.

- **Ejemplo de aplicación del algoritmo cuántico de Grover (se describen las puertas cuánticas).**
- Sea una lista de $N = 2^6 = 64$ posibles soluciones x_i ,
y supongamos que sólo $x_0 = |000000\rangle$ cumple la condición $f(x_0) = 1$.
- Primero se construye la superposición $1/8 |000000\rangle + 1/8 |000001\rangle + \dots + 1/8 |111110\rangle + 1/8 |111111\rangle$.
Es decir, $\alpha_0 = \alpha_1 = \dots = \alpha_{63} = 1/8$.
- Luego:
 - a. Se cambia $\alpha_0 = 1/8$ por $-1/8 = -0,125$.
 - b. Se calcula el promedio P con las nuevas amplitudes: $(-1/8 + 63 \cdot 1/8) / 64 = 0,12109$.
 - c. Se modifican todas las amplitudes α_i por $(2P - \alpha_i)$, obteniéndose:

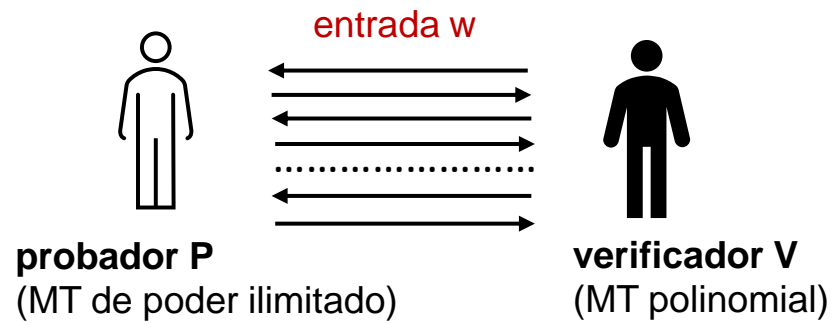
$$0,367817 |000000\rangle + 0,117187 |000001\rangle + \dots + 0,117187 |111110\rangle + 0,117187 |111111\rangle$$
- Repitiendo el proceso 6 veces, se llega a:

$$0,998291 |000000\rangle - 0,00736174 |000001\rangle - \dots - 0,00736174 |111110\rangle - 0,00736174 |111111\rangle$$
- Finalmente, midiendo el estado, la probabilidad de encontrar $x_0 = |000000\rangle$ es **0,998291²**.

Nota: si se sigue iterando no se mejora sino que se empeora el resultado.
P.ej., después de 10 iteraciones, la amplitud de $x_0 = |000000\rangle$ es 0,487922.

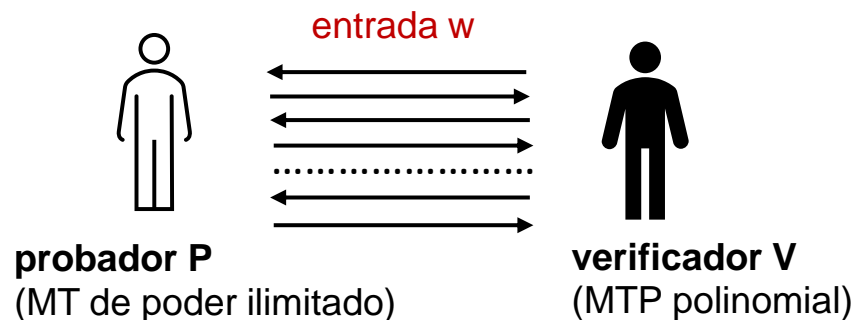
Anexo

Algo más sobre la clase NP y los sistemas de pruebas (1)



Sistema interactivo (P, V)

- El verificador V es una MT polinomial. Intercambia con el probador P $\text{poly}(|w|)$ mensajes de tamaño $\text{poly}(|w|)$ - prueba interactiva -.
- La clase de lenguajes aceptados por este modelo es **NP**.



Sistema interactivo probabilístico (P, V)

- El verificador V es una MTP polinomial. Intercambia con el probador P $\text{poly}(|w|)$ mensajes de tamaño $\text{poly}(|w|)$ - prueba interactiva probabilística -.
- La clase de lenguajes aceptados por este modelo es **PSPACE**.

- Un caso particular de prueba interactiva probabilística, de sumo interés para la criptografía, es la **prueba de conocimiento cero**, en la que V no aprende nada de lo que le envía P (sólo le alcanza para aceptar o rechazar w).

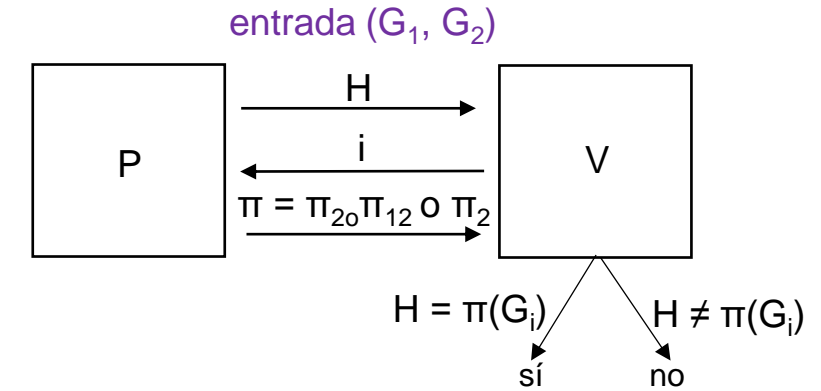
Con ciertas asunciones, se prueba que todo lenguaje L de NP cuenta con una prueba de conocimiento cero.

Ejemplo. Prueba de conocimiento cero para el lenguaje ISO:

$$\text{ISO} = \{(G_1, G_2) \mid G_1 \text{ y } G_2 \text{ son grafos isomorfos}\}$$

Sea el siguiente sistema (P, V) . Dados dos grafos G_1 y G_2 con m vértices, (P, V) hace:

1. P obtiene dos permutaciones de vértices: π_{12} que si G_1 y G_2 son isomorfos cumple $\pi_{12}(G_1) = G_2$, y π_2 ; y el grafo $H = \pi_2(G_2)$.
2. P le envía a V el grafo H .
3. V elige un número i entre 1 y 2.
4. V le envía a P el número i .
5. Si $i = 1$, P le envía a V la permutación $\pi = \pi_2 \circ \pi_{12}$, con $\pi_2 \circ \pi_{12}(G) = \pi_2(\pi_{12}(G))$.
Si $i = 2$, P le envía a V la permutación $\pi = \pi_2$.
6. V acepta sii $H = \pi(G_i)$.



- Claramente. (P, V) tarda tiempo polinomial.

- Además:

Si G_1 y G_2 son isomorfos, V acepta con probabilidad 1, porque elija $i = 1$ o 2 , en (6) siempre compara dos grafos iguales:
cuando $i = 1$, compara $\pi_2(G_2)$ con $\pi_2(\pi_{12}(G_1))$, siendo $\pi_{12}(G_1) = G_2$
cuando $i = 2$, compara $\pi_2(G_2)$ con $\pi_2(G_2)$

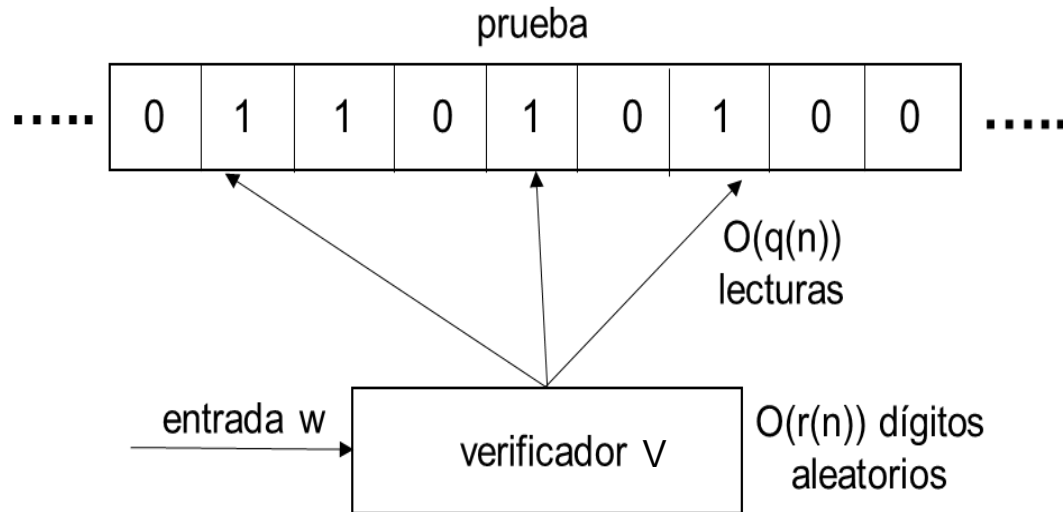
Si G_1 y G_2 no son isomorfos, V acepta con probabilidad $\leq 1/2$ (con el probador P definido o con cualquier otro - esto último se puede probar -). Con la estrategia del ejemplo:

si V elige 1, compara $\pi_2(G_2)$ con $\pi_2(\pi_{12}(G_1))$, que son grafos distintos
si V elige 2, compara $\pi_2(G_2)$ con $\pi_2(G_2)$, que son grafos iguales.

Con dos ejecuciones de (P, V) se alcanza la cota requerida $\leq 1/3$.

Con lo que le envía P , V **no aprende nada** acerca del isomorfismo existente entre los grafos G_1 y G_2 .

Algo más sobre la clase NP y los sistemas de pruebas (2)



Verificador V para un lenguaje L

Si $w \in L$, existe una prueba tal que la probabilidad de que V acepte w es 1.

Si $w \notin L$, para toda prueba, la probabilidad de que V acepte w es a lo sumo $1/2$.

Prueba chequeable probabilísticamente (PCP). Un verificador V recibe de un probador P una prueba de una cadena w , que V debe aceptar o rechazar. V es una MTP polinomial, y P es una MT de poder ilimitado. Además, dadas dos funciones $r(n)$ y $q(n)$:

- V puede utilizar $O(r(n))$ dígitos aleatorios.
- V puede hacer $O(q(n))$ consultas sobre la prueba (lecturas independientes de un solo dígito, 1 o 0).

Se prueba (**Teorema PCP**) que todo lenguaje de NP puede ser decidido por un sistema de estas características, en el que V utiliza **$O(\log_2 n)$ dígitos aleatorios** y efectúa **$O(1)$ consultas** (**muy contraintuitivo**).

Este teorema se usa para probar que varios problemas de optimización no tienen aproximaciones polinomiales.